

## کنترل هوشمند هلی کوپتر چهار موتور بدون سرنشین در حالت معلق در هوا

ندا شمشیری<sup>(۱)</sup> - عباس چترایی<sup>(۲)</sup>

(۱) کارشناس ارشد - گروه برق، دانشکده مهندسی برق، واحد نجف آباد، دانشگاه آزاد اسلامی، نجف آباد، اصفهان، ایران

(۲) استادیار - گروه برق، دانشکده مهندسی برق، واحد نجف آباد، دانشگاه آزاد اسلامی، نجف آباد، اصفهان، ایران

تاریخ دریافت: ۱۳۹۴/۳/۱۰ تاریخ پذیرش: ۱۳۹۴/۵/۶

خلاصه: هلی کوپتر چهار موتور (کوادرورتور)، یک هواپیمای بدون سرنشین با چهار موتور است. به دلیل قابلیت های منحصر به فرد این وسیله از جمله نقصان تحریک بودن، پرواز و فرود عمودی، حرکت درجه، درجات آزادی بیشتر و کاربردهای نظامی و غیرنظامی، توجه ویژه بسیاری از محققین را به خود معطوف کرده است. به دلیل دینامیک غیرخطی و پیچیده این سیستم چندمتغیره با شش درجه آزادی، مدل سازی و کنترل این وسیله یکی از زمینه های چالش برانگیز در مهندسی کنترل به شمار می آید. در این مقاله مدل سازی کوادرورتور با استفاده از معادلات نیوتن- اویلر توصیف می گردد. پایدار سازی و کنترل ارتفاع و وضعیت این وسیله توسط سه کنترل کننده PID کلاسیک، فازی- PID و فازی- عصبی مبتنی بر PID صورت می پذیرد و همچنین عملکرد این کنترل کننده ها در حضور اغتشاش و نامعینی جرمی مورد بررسی قرار می گیرند. هدف اصلی این مقاله طراحی الگوریتم PID هوشمند می باشد که از تلفیق منطق فازی و شبکه های عصبی ساخته شده و کنترل کننده فازی- عصبی مبتنی بر PID را مطرح می نماید. نتایج شبیه سازی های صورت گرفته توسط نرم افزار MATLAB ارائه می شوند.

کلمات کلیدی: کنترل کننده فازی، کنترل کننده عصبی- فازی، کنترل کننده PID، کوادرورتور، مدل سازی.

## Intelligent Control of Quadrotor Unmanned Helicopter in Hovering Mode

Neda Shamshiri<sup>(۱)</sup> - Abbas Chatraei<sup>(۲)</sup>

(1) MSc - Department of Electrical Engineering, Najafabad Branch, Islamic Azad University, Najafabad, Isfahan, Iran  
nedashamshiri@yahoo.com

(2) Assistant Professor - Department of Electrical Engineering, Najafabad Branch, Islamic Azad University, Najafabad, Isfahan, Iran  
abbas.chatraei@gmail.com

A Quadrotor helicopter is an unmanned aerial vehicle (UAV). This vehicle has attracted lots of researchers' attention because of its unique abilities such as being an under-actuated system, vertical take-off and landing, spot movement, more degree of freedom (DOF) and military and non-military functions. Because of nonlinear and complex dynamic, modeling and controlling this vehicle is one of the most challenging areas in control engineering. In this paper modeling of a Quadrotor will be described using Newton-Euler equations. Stabilizing and controlling of altitude and its attitude are done by three controller including classic PID, Fuzzy- PID and Neural- Fuzzy based on PID. Performances of these controllers are analyzed in the presence of disturbances and mass uncertainties. The main aim of this paper is designing an intelligent PID algorithm which is made by combining fuzzy logic and neural system and it will introduce a Neural- Fuzzy controller which is based on PID. Simulation results are presented by MATLAB software.

**Index Terms:** Fuzzy controller, modeling, neural- fuzzy controller, PID controller, quadrotor.

نویسنده مسئول: ندا شمشیری، دانشکده مهندسی برق، واحد نجف آباد، دانشگاه آزاد اسلامی، نجف آباد، اصفهان، ایران ، nedashamshiri@yahoo.com

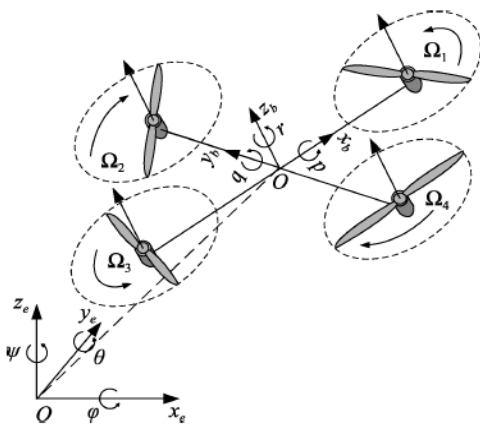
## ۱- مقدمه

PID توسط الگوریتم ژنتیک، عملکرد کنترل کننده مورد تأیید واقع شد. در [۹]، از کنترل کننده فازی- PID برای کنترل کوادراتور و کاهاش تأثیر نویزهای خارجی در عملکرد سیستم و افزایش مقاومت سیستم استفاده شده و کنترلی انعطاف‌پذیرتر را به وجود آورده است. مرجع [۱۰] به کنترل کوادراتوری می‌پردازد که مدل غیرخطی آن در آزمایشگاه دانشگاه فردوسی مشهد به دست آمده است. ابتدا شبیه‌سازی حرکت این وسیله در محیط سیمولینک نرم‌افزار MATLAB طراحی شده و سپس خطی‌سازی با روش لگرانژ و کنترل نیمه خودکار مورد بررسی قرار گرفته است. کنترل کوادراتور با استفاده از کنترل کننده‌های PID و فازی- PID صورت پذیرفته است که نتایج نشان‌دهنده کنترل مقاوم فازی- PID در حضور اغتشاش می‌باشد. مرجع [۱۱] از روش کنترل فازی- مُلغزشی برای کنترل وضعیت کوادراتور استفاده کرده است که این کنترل کننده با وجود اغتشاشات خارجی قادر به کنترل کوادراتور شده است. مرجع [۱۲] از روش شبکه عصبی به عنوان تخمین‌گری که برای به دست آوردن برخط ضرائب PID کسری آموزش دیده، استفاده کرده است که این روش موجب کنترل بهتر سیستم شده و بر نامعینی‌ها و مشکلات غیرخطی سیستم غلبه کرده است. در [۱۳]، از منطق فازی برای کنترل ارتفاع کوادراتور در حالت معلق در هوا استفاده شده است و نتایج نشان‌دهنده رسیدن مقدار خطای حالت دائمی به صفر با زمان نشت ۱۵ ثانیه می‌باشد. از منطق فازی برای پایدارسازی کوادراتور در [۱۴] استفاده شده است. مدل فازی به کار برده شده برای کنترل مدل غیرخطی این وسیله، تاکاگی- سوگنو- کانگ می‌باشد. نتایج به دست آمده نشان‌دهنده اثربخشی و مقاوم بودن کنترل کننده طراحی شده می‌باشد. مرجع [۱۵] طراحی شبکه عصبی تطبیقی را بیان می‌کند که از این کنترل کننده برای پایدارسازی کوادراتور در حضور یک اختلال سینوسی استفاده شده است. کاهش خطای ریدیابی، بدون انحراف وزن‌های شبکه، توسط دو لایه پنهان موادی صورت گرفته است. در [۱۶]، کنترل پرواز کوادراتور با شبکه‌های عصبی تطبیقی صورت پذیرفته است. برای رسیدن به این هدف، از روش خطی‌سازی فیدبک به جهت معرفی خطای معکوس سیستم و برای تولید سیگنال کنترل تطبیقی از ساختار شبکه عصبی برخط استفاده شده است و از مدل تخمین‌گر معکوس برای تعریف متغیرهای کنترل استفاده شده است. شبیه‌سازی‌های صورت گرفته نشان‌دهنده کارایی مطلوب شبکه عصبی تطبیقی می‌باشد. در [۱۷]، از یک سیستم فازی- عصبی- تطبیقی برای کنترل کوادراتور استفاده شده است. در ابتدا یک کنترل کننده PID برای کنترل سیستم غیرخطی طراحی شده و پس از آن الگوریتم ژنتیک برای تنظیم بهره‌های PID استفاده شده، سپس نتایج ورودی و خروجی سیستم‌ها به عنوان آموزش و بررسی داده برای طراحی سیستم فازی- عصبی- تطبیقی استفاده می‌شوند. نتایج به دست آمده اثر بخشی کنترل کننده فازی- عصبی- تطبیقی برای کوادراتور را نشان می‌دهد.

کوادراتور یک هواپیمای بدون سرنشین با چهار موتور است که هر کدام از موتورها در رأس یک چارچوب متقاطع قرار گرفته‌اند. توانایی پرواز و فرود عمودی در محیط‌های مختلف، معلق ماندن در هوا و درجات آزادی بیشتر این وسیله با نیازهای نظامی و غیرنظامی منطبق گشته و کاربردهای آن در زمینه‌های زیادی از جمله امداد و نجات، گشت مربازانی، عکسبرداری هوایی، کشف معدن، کنترل ترافیک، گشت مزدی و تحقیقات علمی می‌باشد [۱]. کوادراتورها دارای مدل دینامیکی پیچیده، چندمتغیره و غیرخطی هستند و از آنجا که دارای شش درجه آزادی در مقابل چهار عملگر می‌باشند در زمرة سیستم‌های نقصان تحریک قرار می‌گیرند. سیستم‌های نقصان تحریک دارای تعداد ورودی کنترلی کمتر در مقایسه با تعداد درجه آزادی سیستم هستند [۲]. از این‌رو کنترل این وسیله با دشواری‌های زیادی روبرو است. در دهه‌ی گذشته توجه به کوادراتور و هواپیماهای بدون سرنشین افزایش یافته است و الگوریتم‌های کنترلی موجود رو به افزایش است. لویز برگویت و ژاکوب برگویت موفق به ساخت اولین هلی کوپتر چهار موتوره شدند. این ماشین پرنده بسیار سنگین، بزرگ و سرنشین دار بود [۲]. از آن زمان تحقیقات زیادی صورت گرفته و پیشرفت‌های شگرفی نیز حاصل شده است. در [۳]، کنترل موقعیت افقی کوادراتور توسط کنترل کننده PI و کنترل موقعیت عمودی این وسیله توسط کنترل کننده PID صورت گرفته است. الگوریتم کنترلی در برابر اثرات سیستمی مثل اثرات آبرودینامیکی و نیروهای کوریولیس مقاوم می‌باشد و اثر نیروی گرانشی جبران شده است. مرجع [۴] به طراحی کنترل کننده PID برای تنظیم موقعیت و وضعیت کوادراتور پرداخته است. بهره‌های کنترل کننده PID به صورت مستقیم انتخاب شدند. کنترل کننده موجب پایدارسازی سیستم شده است. پاسخ زمانی خوب سیستم با خطاهای دائمی تقریباً صفر و بالازدگی کمی همراه است. در [۵]، از کنترل کننده‌های PID و LQ برای کنترل کوادراتور میکرو در فضای بسته استفاده شد. هر دو کنترل کننده قادر به کنترل وضعیت کوادراتور در حالت معلق در هوا با وجود اختلالات ناچیزی شدند.

مرجع [۶] از دو روش کنترلی PID و LQR برای پایدارسازی کوادراتور استفاده کرده است که هر دو موفق به پایدارسازی و کنترل شده‌اند؛ اما الگوریتم LQR دارای پاسخ سریع‌تر و خطای حالت ماندگار نسبت‌آمده می‌باشد. مرجع [۷] نتایج حاصل از مطالعات شبیه‌سازی شده برای کنترل وضعیت و ارتفاع غیرخطی کوادراتور را نشان می‌دهد. کنترل این وسیله توسط روش پسگام برای تنظیم بهره‌های PID، روش کنترلی سطح پویا می‌باشد. از تئوری لیاپانوف برای تضمین پایداری استفاده شده است. نتایج شبیه‌سازی، اثربخشی دو کنترل کننده را نشان می‌دهد اما کنترل کننده سطح پویا مقاوم‌تر می‌باشد. در [۸]، پس از مدل سازی کوادراتور به پایدارسازی و کنترل ارتفاع و وضعیت این وسیله توسط کنترل کننده PID کلاسیک و PID مبتنی بر الگوریتم ژنتیک پرداخته شده است که به وسیله تنظیم بهره‌های کنترل کننده

افزایش) سرعت موتور جلو ایجاد می‌شود که باعث دوران کوادراتور حول محور لها می‌شود. همچنین، حرکت پیچش (Yaw) با افزایش (یا کاهش) سرعت موتورهای جلو و عقب و کاهش (یا افزایش) سرعت موتورهای کناری ایجاد می‌شود [۲۰]. برای مدل‌سازی دینامیک کوادراتور یک دستگاه مختصات اینرسی و یک دستگاه مختصات ثابت بدنه در نظر می‌گیریم [۲۱]. همانطور که در شکل (۱) مشاهده می‌شود، مبدأ مختصات ثابت بدنه، مرکز جرم کوادراتور می‌باشد.



شکل (۱): پیکربندی کوادراتور به همراه دستگاه‌های مختصات آن [۲۰]

Fig. (1): A quadrotor configuration with its frame [20]

حرکت چرخشی کوادراتور به وسیله سه زاویه اویلر می‌باشد که شامل زاویه چرخش ( $\varphi$ )، زاویه غلتش ( $\theta$ ) و زاویه پیچش ( $\psi$ ) می‌باشند و به صورت بردار  $\Omega^T = (\varphi, \theta, \psi)$  هستند. موقعیت این وسیله در دستگاه اینرسی با بردار  $r^T = (x, y, z)$  نشان داده می‌شوند. ماتریس دوران R به صورت معادله (۱) می‌باشد و از آن برای انتقال بردارها از دستگاه ثابت بدنه به دستگاه اینرسی استفاده می‌شود که در آن  $c\theta$  و  $s\theta$  به ترتیب به معنای  $\sin \theta$  و  $\cos \theta$  می‌باشند.

$$R = \begin{pmatrix} c\psi.c\theta & c\psi.s\theta.s\varphi - s\psi.c\varphi & c\psi.s\theta.c\varphi + s\psi.s\varphi \\ s\psi.c\theta & s\psi.s\theta.s\varphi + c\psi.c\varphi & s\psi.s\theta.c\varphi - c\psi.s\varphi \\ -s\theta & c\theta.s\varphi & c\theta.c\varphi \end{pmatrix} \quad (1)$$

$F_i = b.\omega_i^2$  نیروی رانش تولید شده توسط موتور آام و  $i=1,2,3,4$  است، که b عامل رانش و  $\omega_i$  سرعت موتور آام می‌باشند. نیروی رانش اعمال شده از چهار موتور به بدنه هواییم، به صورت معادله (۲) داده شده است.

$$T = \sum_{i=1}^4 |F_i| = b \cdot \sum_{i=1}^4 \omega_i^2 \quad (2)$$

معادلات (۳) اولین مجموعه معادلات دیفرانسیلی هستند که شتاب کوادراتور را توصیف می‌کنند.

$$\begin{pmatrix} \ddot{x} \\ \ddot{y} \\ \ddot{z} \end{pmatrix} = g \cdot \begin{pmatrix} 0 \\ 0 \\ 1 \end{pmatrix} - R \cdot \frac{T}{m} \cdot \begin{pmatrix} 0 \\ 0 \\ 1 \end{pmatrix} \quad (3)$$

عموماً اثبات پایداری سیستم‌های کنترل کننده‌های هوشمند نظری فازی، عصبی یا ترکیبی از این دو، بسیار مشکل می‌باشد [۱۸]. ولی با توجه به اینکه پایداری سیستم‌های مختلف خطی و غیرخطی با کنترل کننده استاندارد PID، در مراجع مختلف و کاربردهای عملی نشان داده شده است، کنترل کننده پیشنهادی در این مقاله به صورت تطبیقی، بهره‌های کنترلی را تنظیم و بهترین عملکرد را ارائه می‌دهد و از طرف دیگر با انواع و اقسام ورودی‌های مطلوب و نویز و اغتشاش، عملکرد مطلوب کنترل کننده پیشنهادی شبیه‌سازی شده است که نشان از پایداری مجانبی این سیستم کنترلی دارد.

هدف اصلی این مقاله پس از بیان جزئیات مدل کوادراتور، تنظیم پارامترهای کنترل کننده PID توسط تلفیق منطق فازی و شبکه‌های عصبی می‌باشد که الگوریتم هوشمند فازی- عصبی مبتنی بر PID را بیان می‌کند. علت استفاده از کنترل کننده‌های فازی و شبکه عصبی می‌گردد. بر اینکه استفاده از کنترل کننده فازی- عصبی- شبکه عصبی مبتنی بر PID می‌شوند و پس از آموزش پویایی شبکه، پارامترهای جدید PID به دست می‌آیند و سیگنال کنترلی محاسبه می‌گردد. بر اساس الگوریتم فوق، عملکرد کنترل کننده فازی وارد کنترل کننده شبکه عصبی مبتنی بر PID می‌شوند و پس از آموزش پویایی شبکه، پارامترهای جدید PID به دست می‌آیند و سیگنال کنترلی محاسبه می‌گردد. بر اساس الگوریتم فوق، عملکرد کنترل کننده فازی- عصبی- شبکه عصبی مبتنی بر PID به صورت مطلوب می‌باشد. برای ارزیابی بهتر عملکرد این کنترل کننده، شبیه‌سازی انواع مختلف اغتشاشات، نویز و نامعینی جرمی به سیستم انجام و تایید به دست آمده رديابي مجانبی کنترل کننده فازی- عصبی مبتنی بر PID را نشان می‌دهند. عملکرد کنترل کننده فازی- عصبی با استفاده از شبیه‌سازی در نرم‌افزار MATLAB با کنترل کننده‌های PID کلاسیک و فازی- PID در مواردی از جمله عدم وجود اغتشاش، با در نظر گرفتن اغتشاش و یا در حضور نامعینی جرمی مقایسه می‌شود. اين مقاله شامل چندین بخش است. در بخش دوم مدل ریاضی کوادراتور شرح داده خواهد شد. کنترل کننده‌ها در بخش سوم ارائه شوند. شبیه‌سازی‌هایی که اهداف مقاله را دنبال می‌کنند در بخش چهارم ارائه می‌گردد. در بخش پنجم نتیجه‌گیری راجع به کنترل ارتفاع و وضعیت کوادراتور بیان می‌شود.

کوادراتور دارای چهار موتور است، هر کدام از موتورها در رأس یک چارچوب متقاطع قرار گرفته‌اند، موتورهای جلو و عقب پادساعتگرد و موتورهای سمت چپ و سمت راست ساعتگرد می‌باشند. پرواز این وسیله توسط تغییر سرعت هر یک از موتورها کنترل می‌شود [۱۹]. با افزایش (یا کاهش) سرعت تمام موتورها به یک اندازه، یک نیروی عمودی با توجه به مختصات ثابت بدنه بوجود می‌آید و ارتفاع از سطح زمین را افزایش (یا کاهش) می‌دهد. حرکت چرخش (Roll) با افزایش (یا کاهش) سرعت موتور چپ و کاهش (یا افزایش) سرعت موتور راست تولید می‌شود که باعث دوران کوادراتور حول محور xها می‌شود. حرکت غلتش (Pitch) با افزایش (یا کاهش) سرعت موتور عقب و کاهش (یا

شد [۲۲]. همانطور که قبلاً اشاره شد ورودی‌ها به صورت (۶)، در نظر گرفته می‌شوند که  $u_1$  حرکت در امتداد محور z را کنترل می‌کند،  $u_2$  دوران حول محور x (زاویه چرخش) را کنترل می‌کند،  $u_3$  دوران حول محور z (زاویه غلتش) را کنترل می‌کند و  $u_4$  دوران حول محور z (زاویه پیچش) را کنترل می‌کند. کنترل کننده‌هایی که طراحی می‌شوند باید مقادیر پارامترهای  $\omega_i$  را به دست آورند و سپس پارامترهای سرعت چهار موتور به وسیله (۶)، تعیین می‌شوند. از رابطه (۱۰)، برای کنترل ارتفاع و از (۱۱) تا (۱۳)، برای کنترل وضعیت کوادراتور استفاده می‌شود. برای طراحی کنترل کننده کوادراتور با فرض این که این وسیله در حالت معلق در هوا می‌باشد زاویای  $\varphi$  و  $\theta$  (به ترتیب برای چرخش و غلتش) همیشه نزدیک به صفر می‌باشند. با فرض این حالت رابطه (۱۰) این وسیله به صورت (۱۴)، بازنویسی می‌شود.

$$\ddot{z} = g - \frac{u_1}{m} \quad (14)$$

همچنین، از (۱۱) تا (۱۳)، برای کنترل وضعیت کوادراتور استفاده می‌شود. در این معادلات  $u_1$  از اختلاف سرعت بین موتورهایی که در جهت عکس عقریه‌های ساعت می‌چرخد (موتورهای جلو و عقب) با موتورهایی که در جهت عقریه‌های ساعت می‌چرخد (موتورهای سمت چپ و راست) به دست می‌آید و این پارامتر در حالت ناوبری در افق بهدلیل یکسان بودن موتورها بسیار کوچک است، از طرفی با توجه به این که نرخ تغییر در زاویای چرخش، غلتش و پیچش کوچک می‌باشد، عبارت‌های  $\dot{\varphi}$  و  $\dot{\theta}$  و  $\dot{\psi}$  تقریباً برابر صفرند. این فرض همیشه حتی برای سرعت‌های زیاد نیز درست است زیرا تغییر زاویه‌ها به تدریج می‌باشند. بنابراین، معادله‌های (۱۱) تا (۱۳) به صورت (۱۵) تا (۱۷) بازنویسی می‌شوند.

$$\dot{\varphi} = \frac{L}{I_x} u_2 \quad (15)$$

$$\dot{\theta} = \frac{L}{I_y} u_3 \quad (16)$$

$$\dot{\psi} = \frac{L}{I_z} u_4 \quad (17)$$

### ۱-۲- کنترل کننده PID کلاسیک

کنترل کننده‌های PID به دلیل عملکرد مقاوم و ساختار ساده‌ای که دارند معمولاً برای کنترل فرآیندهای صنعتی مورد استفاده قرار می‌گیرند [۲۳]. معادله یک کنترل کننده PID به صورت (۱۸) می‌باشد.

$$u(t) = k_p e(t) + k_i \int_0^t e(t) dt + k_d \frac{d}{dt} e(t) \quad (18)$$

که  $k_p$  بهره تناسی،  $k_i$  بهره انگرالی و  $k_d$  بهره مشتق‌گیر نامیده می‌شوند. از روش زیگلر-نیکولز برای تنظیم پارامترهای کنترل کننده‌ها استفاده شده است. با توجه به این روش برای کنترل ارتفاع بهره‌های کنترل کننده می‌باشد. با توجه به این روش برای کنترل ارتفاع بهره‌های  $k_i=1$  و  $k_d=3$  و برای کنترل وضعیت (زاویه‌های اویلر) بهره‌های  $k_p=0.475$  و  $k_d=0.11875$  انتخاب می‌شوند. پاسخ‌های سیستم در بخش چهارم ارائه خواهد شد.

دومین مجموعه معادلات دیفرانسیل (۴)، به وسیله ماتریس اینرسی I که یک ماتریس قطری با ممان اینرسی‌های  $I_{xx}$  و  $I_{yy}$  و  $I_{zz}$  قدر اصلی می‌باشد، اینرسی روتور  $I_R$  و بردار  $\tau$  که نشان‌دهنده گشتاور اعمال شده به بدن کوادراتور می‌باشد، به دست می‌آید.

$$I \cdot \ddot{\Omega} = -( \dot{\Omega} \times I \cdot \dot{\Omega} ) - \sum_{i=1}^4 I_R \begin{pmatrix} 0 \\ 0 \\ 1 \end{pmatrix} \omega_i + \tau \quad (4)$$

که بردار  $\tau$  به صورت (۵) تعریف می‌شود.

$$\tau = \begin{pmatrix} Lb(\omega_3^2 - \omega_4^2) \\ Lb(\omega_1^2 - \omega_2^2) \\ d(\omega_1^2 + \omega_2^2 - \omega_3^2 - \omega_4^2) \end{pmatrix} \quad (5)$$

که  $L$  فاکتور کشش و  $b$  فاصله مرکز جرم بدن تا محور چرخش ملخ‌ها هستند. چهار سرعت چرخشی  $\omega_i$  موتورها، متغیرهای ورودی واقعی هستند، اما با توجه به مدل به دست آمده متغیرهای ورودی می‌توانند به صورت معادلات (۶) تعریف شوند.

$$\begin{aligned} u_1 &= b(\omega_1^2 + \omega_2^2 + \omega_3^2 + \omega_4^2) \\ u_2 &= b(\omega_3^2 - \omega_4^2) \\ u_3 &= b(\omega_1^2 - \omega_2^2) \\ u_4 &= d(\omega_1^2 + \omega_2^2 - \omega_3^2 - \omega_4^2) \end{aligned} \quad (6)$$

که  $u_1$  نشان‌دهنده نیروی رانش اعمال شده بر بدن کوادراتور می‌باشد،  $u_2$  نشان‌دهنده نیرویی است که منجر به گشتاور چرخش، نیروی  $u_3$  منجر به گشتاور غلتش و نیروی  $u_4$  منجر به گشتاور پیچش می‌شوند. از این‌رو بردار  $u^T = (u_1, u_2, u_3, u_4)$  را به عنوان متغیرهای ورودی سیستم در نظر می‌گیریم. همچنین، گشتاور ژیروسکوپی به سرعت چرخشی موتورها وابسته است که به صورت معادله (۷) در نظر گرفته می‌شود.

$$u_5 = \omega_1 + \omega_2 - \omega_3 - \omega_4 \quad (7)$$

بنابراین، از بررسی روابط (۳) و (۴) مدل دینامیکی سیستم به صورت معادلات (۸) تا (۱۳) می‌باشد.

$$\ddot{x} = -(\cos \varphi \sin \theta \cos \psi + \sin \varphi \sin \psi) \cdot \frac{u_1}{m} \quad (8)$$

$$\ddot{y} = -(\cos \varphi \sin \theta \sin \psi - \sin \varphi \cos \psi) \cdot \frac{u_1}{m} \quad (9)$$

$$\ddot{z} = g - (\cos \varphi \cos \theta) \cdot \frac{u_1}{m} \quad (10)$$

$$\dot{\varphi} = \dot{\theta} \psi \left( \frac{I_y - I_z}{I_x} \right) - \frac{I_R}{I_x} \dot{\theta} u_5 + \frac{L}{I_x} u_2 \quad (11)$$

$$\dot{\theta} = \dot{\varphi} \psi \left( \frac{I_z - I_x}{I_y} \right) + \frac{I_R}{I_y} \dot{\varphi} u_5 + \frac{L}{I_y} u_3 \quad (12)$$

$$\dot{\psi} = \dot{\theta} \dot{\varphi} \left( \frac{I_x - I_y}{I_z} \right) + \frac{L}{I_z} u_4 \quad (13)$$

### ۳- طراحی الگوریتم‌های کنترلی ارتفاع و وضعیت

در این بخش کنترل کننده‌های PID کلاسیک، PID خودتنظیم مبتنی بر منطق فازی و کنترل کننده فازی-عصبی مبتنی بر PID ارائه خواهد

Table (1): Fuzzy rules for  $k_p$   
جدول (۱): قوانین فازی برای  $k_p$

$\frac{e}{\Delta e}$	NB	NM	NS	ZO	PS	PM	PB
NB	PB	PB	PM	PM	PS	ZO	ZO
NM	PB	PB	PM	PS	PS	ZO	NS
NS	PM	PM	PM	PS	ZO	NS	NS
ZO	PM	PM	PS	ZO	NS	NM	NM
PS	PS	PS	ZO	NS	NS	NM	NM
PM	PS	ZO	NS	NM	NM	NM	NB
PB	ZO	ZO	NM	NM	NM	NB	NB

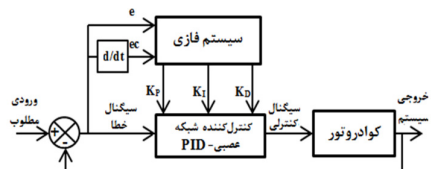
Table (2): Fuzzy rules for  $k_i$   
جدول (۲): قوانین فازی برای  $k_i$

$\frac{e}{\Delta e}$	NB	NM	NS	ZO	PS	PM	PB
NB	NB	NB	NM	NM	NS	ZO	ZO
NM	NB	NB	NM	NS	NS	ZO	ZO
NS	NB	NM	NS	NS	ZO	PS	PS
ZO	NM	NM	NS	ZO	PS	PM	PM
PS	NM	NS	ZO	PS	PS	PM	PB
PM	ZO	ZO	PS	PS	PM	PB	PB
PB	ZO	ZO	PS	PM	PM	PB	PB

Table (3): Fuzzy rules for  $k_d$   
جدول (۳): قوانین فازی برای  $k_d$

$\frac{e}{\Delta e}$	NB	NM	NS	ZO	PS	PM	PB
NB	PS	NS	NB	NB	NB	NM	PS
NM	PS	NS	NB	NM	NM	NS	ZO
NS	ZO	NS	NM	NM	NS	NS	ZO
ZO	ZO	NS	NS	NS	NS	NS	ZO
PS	ZO						
PM	PB	NS	PS	PS	PS	PS	PB
PB	PB	PM	PM	PM	PS	PS	PB

۳-۲- کنترل کننده فازی عصبی با قابلیت تطبیقی تنظیم بهره‌ها کنترل کننده فازی- عصبی مبتنی بر PID شامل کنترل کننده فازی و کنترل کننده شبکه عصبی- PID می‌باشد که بلوک دیاگرام آن در شکل (۴) نشان داده شده است. در این بلوک دیاگرام، پارامترهایی که کنترل کننده فازی طراحی شده در زیربخش ۲-۳ اصلاح شدند، توسط کنترل کننده فازی طراحی شده در زیربخش ۲-۳ اصلاح شدند، وارد کنترل کننده شبکه عصبی می‌شوند و پس از اصلاح و آموزش پویا، پارامترهای جدید  $k_d$  و  $k_i$  و  $k_p$  به دست می‌آیند. شبکه عصبی- انترگرالی - مشتق گیر (NN PID) در واقع اعمال یک شبکه عصبی برای تنظیم پارامترهای PID می‌باشد و ساختار این کنترل کننده به شکل نورون‌های PID می‌باشد. در این مقاله، ساختار شبکه ۱-۲-۳ مورد استفاده قرار گرفته است. این ساختار به صورت شکل (۵) می‌باشد.

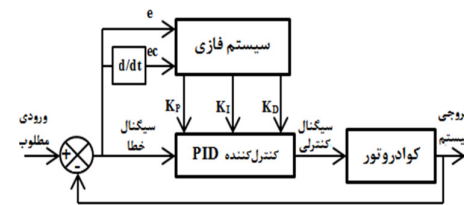


شکل (۴): بلوک دیاگرام یک کنترل کننده فازی- شبکه عصبی- PID

Fig. (4): The block diagram of a Fuzzy- Neural Network- PID Controller

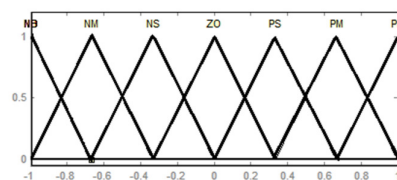
### ۲-۳- سیستم فازی- عصبی برای تنظیم بهره‌های PID

موفقتی کنترل کننده PID وابسته به انتخاب مناسب بهره‌های این کنترل کننده است و پیدا کردن بهترین بهره برای این کنترل کننده دارای دشواری‌هایی می‌باشد [۲۴]. به همین دلیل، دستهای از قوانین تنظیم بهره‌های PID را تعریف می‌کنیم و سپس این قوانین را وارد سیستم فازی می‌کنیم تا بهره‌های PID به صورت برخط آموزش بینند. طراحی این قوانین برای کنترل کننده به صورت آنالیزهای تئوری و تجربی می‌باشد. این کنترل کننده، خطأ و تغییرات آن را به عنوان ورودی دریافت می‌کند و با استفاده از قوانین، بهره‌های PID را به صورت برخط تغییر می‌دهد. در فرآیند استنتاج فازی، برای هر زیرمجموعه ورودی و خروجی، هفت عنصر منفی و بزرگ (NB)، منفی و متوسط (NM)، منفی و کوچک (NS)، صفر (ZO)، مثبت و کوچک (PS)، مثبت و متوسط (PM) و مثبت و بزرگ (PB) در نظر می‌گیریم. در شکل (۲) بلوك دیاگرام یک کنترل کننده PID خودتنظیم مبتنی بر منطق فازی نشان داده شده است. همانطور که در شکل مشخص است، سیستم فازی دارای دو ورودی خطأ و تغییرات خطأ و سه خروجی  $k_d$ ،  $k_i$  و  $k_p$  می‌باشد. این بلوك دیاگرام فقط کنترل یک درجه آزادی سیستم کوادراتور را نشان می‌دهد. برای کنترل ارتفاع و وضعیت به سه کنترل کننده دیگر شبیه به این کنترل کننده نیاز داریم. توابع عضویت تمام ورودی‌ها و خروجی‌ها یکسان انتخاب شده است و به صورت مثلثی می‌باشند. در شکل (۳) این توابع عضویت نشان داده شده‌اند. پهنهای مجموعه‌های فازی برای کنترل کننده‌ها یکسان نبوده و با سعی و خطأ به دست آمده است. محدوده پهنهای مجموعه‌های فازی برای وروده خطا [۱-۱] و برای تغییرات خطأ [-۱۰-۱۰] به دست آمده و محدوده پهنهای مجموعه‌های فازی خروجی برای  $k_p$  [۰/۷-۰/۷]، برای  $k_i$  [۰/۱-۰/۱] و برای  $k_d$  [۰/۱۵-۰/۱۵] به دست آمده است. همچنین، جداول (۱) تا (۳) قوانین فازی برای تنظیم ضرایب PID را بیان می‌کنند. اصلاح برخط ضرایب PID، کنترل این وسیله را بهبود می‌بخشد.



شکل (۲): بلوك دیاگرام یک کنترل کننده فازی- PID

Fig. (2): The block diagram of a Fuzzy- PID Controller



شکل (۳): توابع عضویت ورودی‌ها و خروجی‌ها

Fig. (3): Membership functions for the all inputs and outputs

$$W(k+1) = W(k) - \alpha \frac{\partial E}{\partial W} \quad (26)$$

فرمول تنظیم وزن‌ها از لایه‌ی مخفی به لایه‌ی خروجی به صورت (۲۷) و از لایه‌ی ورودی به لایه‌ی مخفی به صورت (۲۸) می‌باشد.

$$W_j(k+1) = W_j + \alpha \sum_{k=1}^N \delta'(k) x'_j(k) \quad (27)$$

$$\delta'(k) = [r(k) - y(k)] \text{sign} \frac{y(k+1) - y(k)}{v(k) - v(k-1)} \quad (28)$$

$$W_{ij}(k+1) = W_{ij}(k) + \alpha \delta_j(k) x_i(k) \quad (29)$$

$$\delta_j(k) = \delta'(k) W_j \text{sign} \frac{u'_j(k) - u'_j(k-1)}{ne t'_j(k) - ne t'_j(k-1)} \quad (30)$$

اصلاح بر خط ضرایب PID. کنترل این وسیله را بهبود می‌بخشد. طراحی این کنترل‌کننده برای کنترل ارتفاع و کنترل وضعیت کوادروتور سبب عملکرد مقاوم و تطبیق‌پذیرتر نسبت به کنترل کننده‌های PID کلاسیک و PID خود تنظیم مبتنی بر منطق فازی می‌شود. همچنین، توسط اعمال اغتشاش و نامعینی جرمی به بررسی عملکرد این کنترل‌کننده‌ها می‌پردازیم. به همین جهت، اغتشاشات از زمان ۵ ثانیه به سیستم وارد می‌شوند و به صورت رابطه (۲۹) می‌باشند. در (۲۹) محدوده اغتشاش ارتفاع  $z$ ,  $a=0$  و  $b=10$  در نظر گرفته شده و برای محدوده اغتشاشات زوایای اوبل،  $a=0$  و  $b=0.1$  در نظر گرفته شده‌اند و  $u_i(i=1,2,3,4)$  سیگنال‌های کنترلی به دست آمده از کنترل‌کننده‌ها می‌باشند.

$$\begin{aligned} \text{if } & t \leq 5 \\ & \text{constant} = 0 \\ \text{else} & \\ & \text{constant} = a + (b-a) * \text{rand}(1,1) \\ \text{end} & \\ u_i(t) &= u_i(t) + \text{constant} \end{aligned} \quad (29)$$

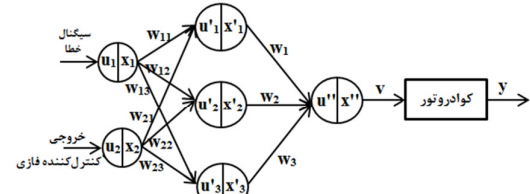
همچنین، جهت بررسی تأثیر عامل نامعینی جرمی بر روی عملکرد کنترل‌کننده، جرم سیستم را در زمان ۵ ثانیه از  $1/5$  کیلوگرم به ۱ کیلوگرم افزایش می‌دهیم. در بخش بعد نتایج شبیه‌سازی‌های صورت گرفته مورد بررسی قرار خواهد گرفت.

مقادیر مورد استفاده برای شبیه‌سازی در جدول (۴) آمده است.

Table (4): The constant values

جدول (۴): مقادیر ثابت

نماد	توضیحات و واحد	مقدار
<b>m</b>	جرم کوادروتور (g)	500
<b>g</b>	(m/s <sup>2</sup> ) ثابت گرانش	9.81
<b>L</b>	(cm) فاصله مرکز جرم بدنه تا محور چرخش ملخها	22.5
<b>b</b>	فاکتور رانش	$3.13 \times 10^{-7}$
<b>d</b>	فاکتور کشش	$9 \times 10^{-7}$
<b>I<sub>xx</sub></b>	(N.m/rad/s <sup>2</sup> ) ممان اینرسی بدن حول محور x	0.0086
<b>I<sub>yy</sub></b>	(N.m/rad/s <sup>2</sup> ) ممان اینرسی بدن حول محور y	0.0086
<b>I<sub>zz</sub></b>	(N.m/rad/s <sup>2</sup> ) ممان اینرسی بدن حول محور z	0.0172
<b>α</b>	نرخ یادگیری شبکه عصبی	0.01
<b>t</b>	(second) زمان نمونه برداری	0.01



شکل (۵): ساختار شبکه عصبی -  
Fig. (5): PID neural network structure

در ساختار شبکه‌ی نورون‌های PID، اولین لایه، لایه‌ی ورودی می‌باشد که دارای یک نورون خطی و یک نورون پارامترهای کنترل PID می‌باشد. به‌وسیله از اصلاح توسط کنترل‌کننده فازی به دست آمده، می‌باشد. محاسبه تابع فعالیت خطی، خروجی لایه‌ی اول،  $x_i$  ( $i=1,2,3$ ) می‌باشد. سه نورون در لایه‌ی مخفی شبکه وجود دارد که نورون‌های تناسی، انگرالی و مشتق‌گیر هستند. ورودی‌های این نورون‌ها مقادیر وزن‌دار شده از لایه‌ی ورودی به لایه‌ی مخفی می‌باشند که به صورت (۱۹)، به دست می‌آیند.

$$net'_j(k) = \sum_{i=1}^2 w_{ij} x_i(k) \quad (19)$$

نورون‌های تناسی، انگرالی و مشتق‌گیر به صورت معادلات (۲۰) تا (۲۲) تعیین می‌شوند.

$$u'_1(k) = ne t'_1(k) \quad (20)$$

$$u'_2(k) = u'_2(k-1) + net'_2(k) \quad (21)$$

$$u'_3(k) = ne t'_3(k) - ne t'_3(k-1) \quad (22)$$

مقدار خروجی هر نورون در لایه مخفی، از آموزش و یادگیری مقدار ورودی هر نورون توسط تابع فعالیت اشباع (۲۳) به دست می‌آید.

$$x'_j(k) = f(u'_j(k)) = \begin{cases} 1 & u'_j(k) > 1 \\ u'_j(k), -1 \leq u'_j(k) \leq 1 & \\ -1 & u'_j(k) < -1 \end{cases} \quad (23)$$

برای محاسبه خروجی، تنها یک نورون در این لایه وجود دارد. ورودی این نورون به صورت معادله (۲۴) می‌باشد.

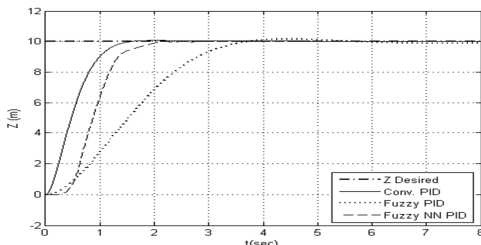
$$u''(k) = \sum_{j=1}^3 w_j x'_j(k) \quad (24)$$

از تابع تناسی (۲۰) به همراه تابع فعالیت اشباع (۲۳) برای به دست آوردن مقدار خروجی استفاده می‌شود. سپس سیستم خروجی را با مقدار مرجع مقایسه می‌کند اگر خطای به دست آمده، ملزمات شبکه را برآورده نسازد، فرآیند پس انتشار خطای صورت خواهد پذیرفت و در نهایت میانگین مربعات خطای به دست آمده از خروجی واقعی و خروجی مطلوب به حداقل خواهد رسید. میانگین مربعات خطای به صورت معادله (۲۵) به دست می‌آید که در آن  $N$  تعداد تکرار می‌باشد.

$$E = \frac{1}{2} \sum_{k=1}^N (r(k) - y(k))^2 = \frac{1}{2} \sum_{k=1}^N e^2(k) \quad (25)$$

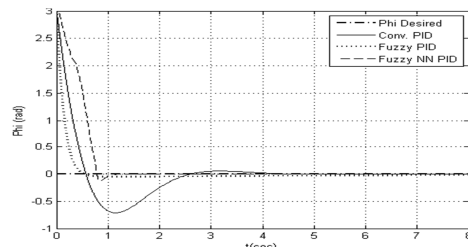
بر طبق روش گرادیان شبکه عصبی مقادیر وزن‌های شبکه اصلاح می‌شوند. معادله تکرار شونده اصلاح وزن‌ها به صورت (۲۶) می‌باشد که در آن  $\alpha$  نرخ یادگیری است.

(۱۴) سیگنال‌های کنترلی  $u_4$  که دوران حول محور Z (زاویه پیچش) را کنترل می‌کنند، ارائه شده‌اند. همانگونه که از شکل‌های (۱۱) تا (۱۴) مشخص است، سیگنال‌های کنترلی محدود می‌باشند و سیگنال‌های کنترلی  $u_1$  با گذشت زمان تقریباً  $\frac{2}{5}$  ثانیه به مقدار ثابت ۵ نیوتون همگرا می‌شوند. سیگنال‌های  $u_2$ ,  $u_3$  و  $u_4$  با گذشت زمان کوتاهی به مقدار صفر نیوتون همگرا می‌شوند.



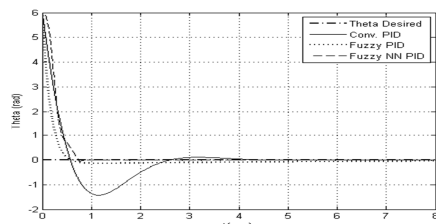
شکل (۷): پاسخ کنترل ارتفاع کوادراتور با کنترل کننده‌های PID کلاسیک (خط ممتد)، فازی-PID ( نقطه چین ) و فازی-عصبی-PID ( خط چین )

Fig. (7): The response of the altitude control of the quadrotor using classical PID (solid line), fuzzy PID (dotted line) and neural fuzzy PID (dashed line) controllers



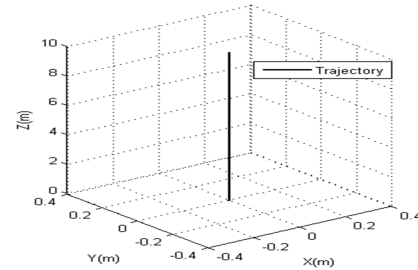
شکل (۸): پاسخ کنترل زاویه چرخش کوادراتور با کنترل کننده‌های PID کلاسیک (خط ممتد)، فازی-PID ( نقطه چین ) و فازی-عصبی-PID ( خط چین )

Fig. (8): The response of the roll angle control of the quadrotor using classical PID (solid line), fuzzy PID (dotted line) and neural fuzzy PID (dashed line) controllers



شکل (۹): پاسخ کنترل زاویه غلتش کوادراتور با کنترل کننده‌های PID کلاسیک (خط ممتد)، فازی-PID ( نقطه چین ) و فازی-عصبی-PID ( خط چین )

Fig. (9): The response of the pitch angle control of the quadrotor using classical PID (solid line), fuzzy PID (dotted line) and neural fuzzy PID (dashed line) controllers

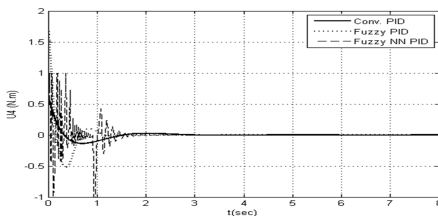


شکل (۶): مسیر حرکت کوادراتور

Fig. (6): The trajectory of the quadrotor

#### ۴- نتایج شبیه‌سازی

مدل دینامیکی کوادراتور به همراه کنترل کننده‌های طراحی شده، توسط نرم‌افزار MATLAB شبیه‌سازی شده است. هدف از این کار آزمایش پایدارسازی این وسیله توسط کنترل کننده‌های ذکر شده در بخش سوم می‌باشد. فرض می‌کنیم که کوادراتور از سطح زمین و با زوایای چرخش برابر  $\frac{\pi}{4}$  رادیان، غلتش برابر  $\frac{\pi}{4}$  رادیان و پیچش برابر  $\frac{\pi}{4}$  رادیان شروع به حرکت کند. این وسیله باید به ارتفاع ۱۰ متر برسد و زوایا را به صفر تغییر دهد و خود را در حالت معلق در هوا پایدار سازد. مسیر حرکت کوادراتور در فضای سه بعدی به صورت شکل (۶) می‌باشد. هر سه کنترل کننده طراحی شده بر روی دینامیک کوادراتور پایدارسازی شده و نتایج آن‌ها با هم مقایسه شده‌اند. نتایج سه روش بر روی مدل دینامیکی کوادراتور به همراه نمودارهای سیگنال‌های کنترلی آن‌ها در شکل (۷) تا (۱۴) آورده شده‌اند. در شکل (۷) پاسخ‌های کوادراتور برای ارتفاع Z نشان داده شده است. پایدارسازی دینامیک کوادراتور توسط سه روش کنترلی تحقق یافته است. همانگونه که مشخص است کنترل کننده فازی-عصبی مبتنی بر PID، زمان نشست، بالازدگی و خطای حالت دائمی کمتری نسبت به دو کنترل کننده دیگر دارد می‌باشد. شکل (۸) پاسخ‌های کوادراتور برای زاویه چرخش را نشان می‌دهد. با توجه به این پاسخ‌ها کنترل کننده فازی-عصبی مبتنی بر PID دارای کمترین زمان نشست و خطای حالت دائمی می‌باشد. پاسخ‌های کوادراتور برای زاویه غلتش در شکل (۹) نشان داده شده است. کنترل کننده فازی-عصبی-PID دارای کمترین زمان نشست می‌باشد و خطای حالت دائمی آن تقریباً با کنترل کننده PID کلاسیک برابر است. در شکل (۱۰) پاسخ‌های کوادراتور برای زاویه پیچش ارائه شده است. کمترین زمان نشست متعلق به کنترل کننده فازی-عصبی-PID می‌باشد و کنترل کننده PID دارای کمترین خطای حالت دائمی است. در شکل‌های (۷) تا (۱۰) کنترل کننده فازی در مقایسه با دو کنترل کننده دیگر، دارای زمان نشست، بالازدگی و خطای حالت دائمی نسبتاً بیشتری می‌باشد. در شکل (۱۱) نمودارهای سیگنال کنترلی  $u_1$ ، برای کنترل ارتفاع Z کوادراتور نشان داده شده است. در شکل (۱۲) نمودارهای سیگنال‌های کنترلی  $u_2$  که همان کنترل دوران حول محور X (زاویه چرخش) می‌باشند و در شکل (۱۳) سیگنال‌های کنترلی  $u_3$  که همان کنترل دوران حول محور y (زاویه غلتش) هستند و در شکل



شکل (۱۴): سیگنال کنترل زاویه پیچش کوادراتور با کنترل کننده‌های PID کلاسیک (خط ممتد)، فازی- پیچش ( نقطه چین) و فازی- عصبی- PID (خط چین)

Fig. (14): The yaw angle control signal of the quadrotor using classical PID (solid line), fuzzy PID (dotted line) and neural fuzzy PID (dashed line) controllers

برای مقایسه بهتر پاسخ‌ها، با توجه به شکل‌های (۷) تا (۱۰) مقادیر بالا زدگی، زمان نشت و خطای حالت دائمی پاسخ‌های کنترل کننده‌های پیاده‌سازی شده بر روی معادلات دینامیکی کوادراتور، در جداول (۵) تا (۸) آورده شده‌اند.

Table (5): Settling time, overshoot and steady state error values of the altitude responses

جدول (۵): مقادیر زمان نشت، بالا زدگی و خطای حالت دائمی پاسخ‌های ارتفاع

خطای حالت دائمی (متر)	مقدار بالا زدگی (درصد)	زمان نشت (ثانیه)	کنترل ارتفاع z
0.0198	0.801	7.93	کنترل کننده PID کلاسیک
0.0775	1.756	9.7	کنترل کننده فازی- PID
0.0018	0.285	2.2	کنترل کننده فازی- عصبی- PID

Table (6): Settling time and steady state error values of the roll angle responses

جدول (۶): مقادیر زمان نشت و خطای حالت دائمی پاسخ‌های زاویه چرخش

خطای حالت دائمی (رادیان)	زمان نشت (ثانیه)	کنترل زاویه چرخش
$1.5483 \times 10^{-4}$	4	کنترل کننده PID کلاسیک
0.0195	7.5	کنترل کننده فازی- PID
$8.7935 \times 10^{-5}$	1	کنترل کننده فازی- عصبی- PID

Table (7): Settling time and steady state error values of the pitch angle responses

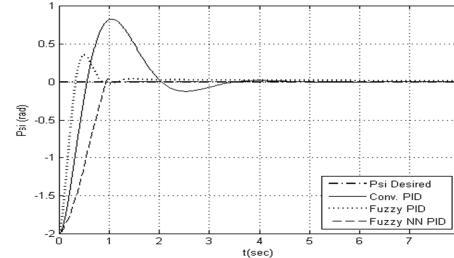
جدول (۷): مقادیر زمان نشت و خطای حالت دائمی پاسخ‌های زاویه غلتتش

خطای حالت دائمی (رادیان)	زمان نشت (ثانیه)	کنترل زاویه غلتتش
$3.0967 \times 10^{-4}$	4.25	کنترل کننده PID کلاسیک
0.0429	12.4	کنترل کننده فازی- PID
$4.8714 \times 10^{-4}$	0.87	کنترل کننده فازی- عصبی- PID

Table (8): Settling time and steady state error values of the yaw angle responses

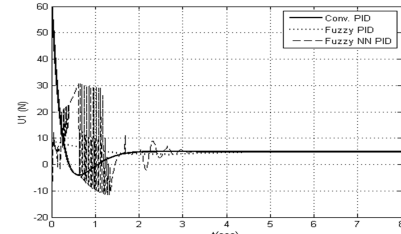
جدول (۸): مقادیر زمان نشت و خطای حالت دائمی پاسخ‌های زاویه پیچش

خطای حالت دائمی (رادیان)	زمان نشت (ثانیه)	کنترل زاویه پیچش
$1.9127 \times 10^{-5}$	3.3	کنترل کننده PID کلاسیک
0.0137	4.6	کنترل کننده فازی- PID
0.0018	1.03	کنترل کننده فازی- عصبی- PID



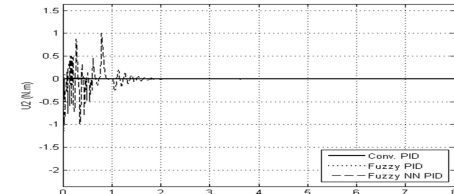
شکل (۱۰): پاسخ کنترل زاویه پیچش کوادراتور با کنترل کننده‌های PID کلاسیک (خط ممتد)، فازی- PID ( نقطه چین) و فازی- عصبی- PID (خط چین)

Fig. (10): The response of the yaw angle control of the quadrotor using classical PID (solid line), fuzzy PID (dotted line) and neural fuzzy PID (dashed line) controllers



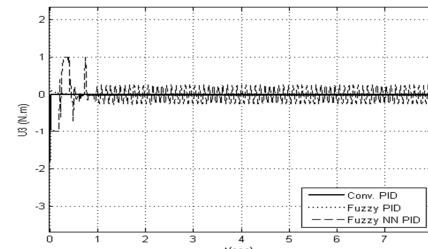
شکل (۱۱): سیگنال کنترل ارتفاع کوادراتور با کنترل کننده‌های PID کلاسیک (خط ممتد)، فازی- PID ( نقطه چین) و فازی- عصبی- PID (خط چین)

Fig. (11): The attitude control signal of the quadrotor using classical PID (solid line), fuzzy PID (dotted line) and neural fuzzy PID (dashed line) controllers



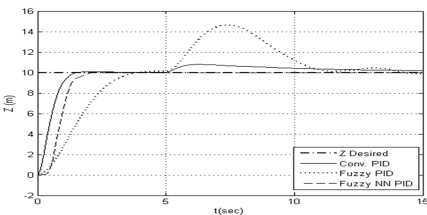
شکل (۱۲): سیگنال کنترل زاویه چرخش کوادراتور با کنترل کننده‌های PID کلاسیک (خط ممتد)، فازی- PID ( نقطه چین) و فازی- عصبی- PID (خط چین)

Fig. (12): The roll angle control signal of the quadrotor using classical PID (solid line), fuzzy PID (dotted line) and neural fuzzy PID (dashed line) controllers



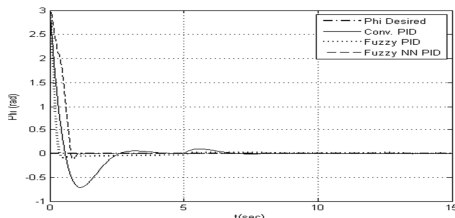
شکل (۱۳): سیگنال کنترل زاویه غلتتش کوادراتور با کنترل کننده‌های PID کلاسیک (خط ممتد)، فازی- PID ( نقطه چین) و فازی- عصبی- PID (خط چین)

Fig. (13): The pitch angle control signal of the quadrotor using classical PID (solid line), fuzzy PID (dotted line) and neural fuzzy PID (dashed line) controllers



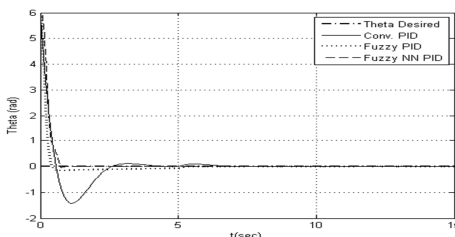
شکل (۱۵): پاسخ کنترل ارتفاع کوادراتور با کنترل کننده‌های PID کلاسیک (خط ممتد)، فازی-PID ( نقطه چین) و فازی- عصبی - PID (خط چین) با در نظر گرفتن اغتشاش

Fig. (15): The response of the altitude control of the quadrotor using classical PID (solid line), fuzzy PID (dotted line) and neural fuzzy PID (dashed line) controllers with disturbance



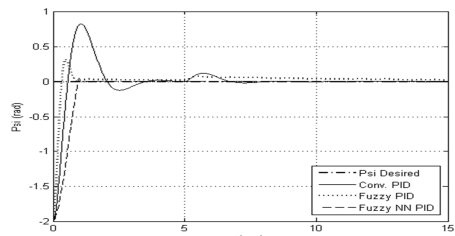
شکل (۱۶): پاسخ کنترل زاویه چرخش کوادراتور با کنترل کننده‌های کلاسیک (خط ممتد)، فازی-PID ( نقطه چین) و فازی- عصبی - PID (خط چین) با در نظر گرفتن اغتشاش

Fig. (16): The response of the roll angle control of the quadrotor using classical PID (solid line), fuzzy PID (dotted line) and neural fuzzy PID (dashed line) controllers with disturbance



شکل (۱۷): پاسخ کنترل زاویه غلتی کوادراتور با کنترل کننده‌های PID کلاسیک (خط ممتد)، فازی-PID ( نقطه چین) و فازی- عصبی - PID (خط چین) با در نظر گرفتن اغتشاش

Fig. (17): The response of the pitch angle control of the quadrotor using classical PID (solid line), fuzzy PID (dotted line) and neural fuzzy PID (dashed line) controllers with disturbance

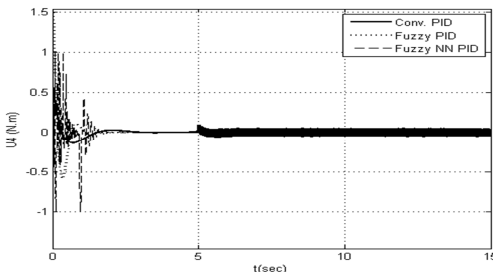


شکل (۱۸): پاسخ کنترل زاویه پیچش کوادراتور با کنترل کننده‌های PID کلاسیک (خط ممتد)، فازی-PID ( نقطه چین) و فازی- عصبی - PID (خط چین) با در نظر گرفتن اغتشاش

Fig. (18): The response of the yaw angle control of the quadrotor using classical PID (solid line), fuzzy PID (dotted line) and neural fuzzy PID (dashed line) controllers with disturbance

با توجه به نتایج به دست آمده کنترل کننده‌های طراحی شده قادر به کنترل معادلات دینامیکی کوادراتور شده‌اند و به ترتیب کنترل کننده‌های فازی- عصبی- PID کلاسیک و فازی- PID دارای بهترین عملکرد می‌باشند.

برای بررسی بهتر عملکرد کنترل کننده‌ها، اغتشاشات بیان شده در بخش (۳) به سیستم وارد می‌شوند. شکل‌های (۱۵) تا (۲۲) بیان کننده پاسخ‌های سیستم و سیگنال‌های کنترلی آن‌ها در حضور اغتشاشات می‌باشند. شکل (۱۵) پاسخ‌های کوادراتور برای ارتفاع  $z$  با حضور  $Z$  با اغتشاش را نشان می‌دهد. در این شکل کنترل کننده فازی- عصبی- PID دارای کمترین زمان نشت، بالازدگی و خطای حالت دائمی می‌باشد. همانگونه که مشخص است، اغتشاش در زمان ۵ ثانیه به سیستم وارد شده که با مقایسه این پاسخ‌ها با پاسخ‌های بدون اغتشاش نشان داده شده در شکل (۷)، کاملاً واضح است که کنترل کننده PID کلاسیک و فازی- PID دارای بالازدگی زیادی در حضور اغتشاش هستند اما کنترل کننده فازی- عصبی- PID با آموختن برخط خود دارای بهترین عملکرد می‌باشد. همانگونه که مشخص است کنترل کننده PID کلاسیک بالازدگی کمتری نسبت به کنترل کننده فازی- PID دارد که این امر بر تنظیم بهره‌های PID به صورت مطلوب دلالت دارد. پاسخ‌های کوادراتور برای زاویه چرخش به صورت شکل (۱۶) هستند. با حضور اغتشاش در زمان ۵ ثانیه، به ترتیب کنترل کننده‌های فازی- عصبی- PID، فازی- PID و PID کلاسیک دارای کمترین زمان نشت و عملکرد بهتر می‌باشند و هر دو کنترل کننده فازی- عصبی- PID و PID کلاسیک خطای دائمی کمی دارند. شکل (۱۷) پاسخ‌های کوادراتور برای زاویه غلتی در حضور اغتشاش را نشان می‌دهد. در این شکل کنترل کننده فازی- عصبی- PID دارای بهترین زمان نشت و خطای حالت دائمی است و با اعمال اغتشاش در زمان ۵ ثانیه در عملکرد آن هیچ اختلالی به وجود نیامده است. همچنان، کنترل کننده فازی دارای عملکرد مقاومتی نسبت به کنترل کننده PID کلاسیک می‌باشد، اما کنترل کننده PID کلاسیک دارای خطای حالت دائمی بهتری نسبت به کنترل کننده فازی- PID می‌باشد. شکل (۱۸) پاسخ‌های کوادراتور برای زاویه پیچش را نشان می‌دهد. با مقایسه شکل (۱۸) و شکل (۱۰) کاملاً مشخص است که با حضور اغتشاش در زمان ۵ ثانیه کنترل کننده فازی- عصبی- PID دارای بهترین عملکرد می‌باشد و پس از کنترل کننده فازی- عصبی- PID، کنترل کننده‌های PID کلاسیک و فازی- PID به ترتیب دارای کمترین زمان نشتند. در شکل‌های (۱۹) تا (۲۲) به ترتیب سیگنال‌های کنترلی  $u_1$ ,  $u_2$ ,  $u_3$  و  $u_4$  نشان داده شده‌اند. این سیگنال‌ها حتی با حضور اغتشاش بزرگ نیز محدود می‌باشند و موجب کنترل کوادراتور در حالت معلق در هوای می‌شوند.



شکل (۲۲): سیگنال کنترل زاویه پیچش کوادراتور با کنترل کننده‌های PID کلاسیک (خط ممتد)، فازی-PID (نقشه چین) و فازی-عصبی-PID (خط چین) با در نظر گرفتن اغتشاش

Fig. (22): The yaw angle control signal of the quadrotor using classical PID (solid line), fuzzy PID (dotted line) and neural fuzzy PID (dashed line) controllers with disturbance

حال، برای مقایسه بهتر پاسخ‌ها در حضور اغتشاشات، با توجه به شکل‌های (۱۵) تا (۱۸) مقادیر بالازدگی، زمان نشست و خطای حالت دائمی پاسخ‌های کنترل کننده‌های پیاده‌سازی شده بر روی معادلات دینامیکی کوادراتور، در جداول (۹) تا (۱۲) آورده شده‌اند.

Table (9): Settling time, overshoot and steady state error values of the altitude responses with disturbance

جدول (۹): مقادیر زمان نشست، بالازدگی و خطای حالت دائمی پاسخ‌های ارتفاع با در نظر گرفتن اغتشاش

خطای حالت دائمی (متر)	مقدار بالازدگی (درصد)	زمان نشست (ثانیه)	کنترل ارتفاع z
0.1757	7.929	23	PID کلاسیک کنترل کننده
0.1114	46.240	بزرگ	PID فازی- کنترل کننده
0.0018	2.85	2.22	- کنترل کننده فازی- PID عصبی-

Table (10): Settling time and steady state error values of the roll angle responses with disturbance

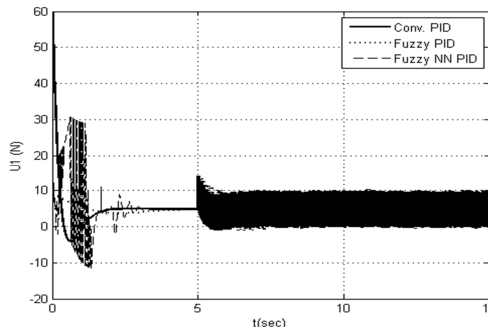
جدول (۱۰): مقادیر زمان نشست و خطای حالت دائمی پاسخ‌های زاویه چرخش با در نظر گرفتن اغتشاش

خطای حالت دائمی (رادیان)	زمان نشست (ثانیه)	کنترل زاویه چرخش
$3.3430 \times 10^{-4}$	7	PID کلاسیک کنترل کننده
0.0096	5.5	PID فازی- کنترل کننده
$8.7935 \times 10^{-5}$	1	- کنترل کننده فازی- عصبی- PID

Table (11): Settling time and steady state error values of the pitch angle responses with disturbance

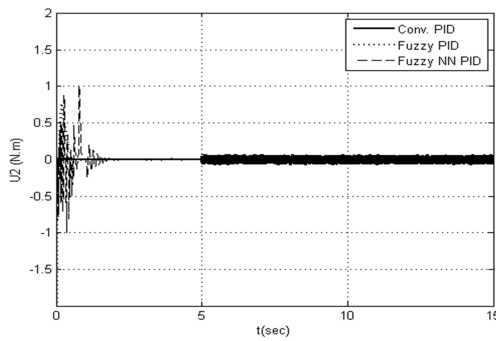
جدول (۱۱): مقادیر زمان نشست و خطای حالت دائمی پاسخ‌های زاویه غلتاش با در نظر گرفتن اغتشاش

خطای حالت دائمی (رادیان)	زمان نشست (ثانیه)	کنترل زاویه غلتاش
$3.4340 \times 10^{-4}$	6.7	PID کلاسیک کنترل کننده
0.0018	5.3	PID فازی- کنترل کننده
$4.8714 \times 10^{-4}$	0.8	- کنترل کننده فازی- عصبی- PID



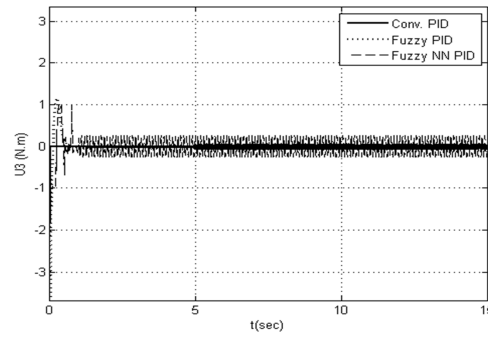
شکل (۱۹): سیگنال کنترل ارتفاع کوادراتور با کنترل کننده‌های PID کلاسیک (خط ممتد)، فازی-PID (نقشه چین) و فازی-عصبی-PID (خط چین) با در نظر گرفتن اغتشاش

Fig. (19): The attitude control signal of the quadrotor using classical PID (solid line), fuzzy PID (dotted line) and neural fuzzy PID (dashed line) controllers with disturbance



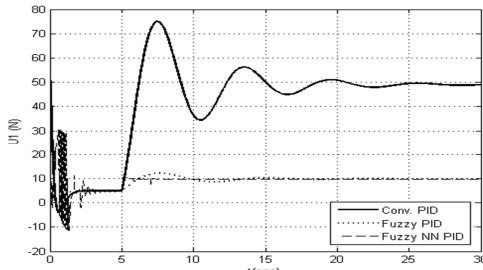
شکل (۲۰): سیگنال کنترل زاویه چرخش کوادراتور با کنترل کننده‌های PID کلاسیک (خط ممتد)، فازی-PID (نقشه چین) و فازی-عصبی-PID (خط چین) با در نظر گرفتن اغتشاش

Fig. (20): The roll angle control signal of the quadrotor using classical PID (solid line), fuzzy PID (dotted line) and neural fuzzy PID (dashed line) controllers with disturbance



شکل (۲۱): سیگنال کنترل زاویه غلتاش کوادراتور با کنترل کننده‌های PID کلاسیک (خط ممتد)، فازی-PID (نقشه چین) و فازی-عصبی-PID (خط چین) با در نظر گرفتن اغتشاش

Fig. (21): The pitch angle control signal of the quadrotor using classical PID (solid line), fuzzy PID (dotted line) and neural fuzzy PID (dashed line) controllers with disturbance



شکل (۲۴): سیگنال کنترل ارتفاع کوادروتور با کنترل کنندهای PID کلاسیک (خط ممتد)، فازی- PID (نقطه چین) و فازی- عصبی- PID (خط چین) با حضور نامعینی جرمی

Fig. (24): The attitude control signal of the quadrotor using classical PID (solid line), fuzzy PID (dotted line) and neural fuzzy PID (dashed line) controllers with mass uncertainty

Table (13): Settling time, overshoot and steady state error values of the altitude responses with mass uncertainty

جدول (۱۳): مقادیر زمان نشت، بالازدگی و خطای حالت دائمی پاسخ‌های

ارتفاع با حضور نامعینی جرمی

خطای حالت دائمی (متر)	مقدار بالازدگی (درصد)	زمان نشت (ثانیه)	کنترل ارتفاع z
0.0198	0.801	39.5	کنترل کننده PID کلاسیک
0.0775	1.756	28	کنترل کننده فازی- PID
0.0018	0.285	12.5	کنترل کننده فازی- عصبی- PID

با توجه به شکل (۲۳) و جدول (۱۳) و مقایسه آن‌ها با شکل (۷) و جدول (۵)، همانگونه که مشخص است کنترل کننده فازی- عصبی مبتنی بر PID دارای بهترین عملکرد می‌باشد. همچنین، کنترل کننده فازی- PID زمان نشت کمتری نسبت به کنترل کننده PID کلاسیک دارد و همانگونه که از شکل (۲۳) مشخص است، این کنترل کننده عملکرد نسبتاً مقاومتری در مقایسه با کنترل کننده PID کلاسیک دارد. همانگونه که از شکل (۲۴) مشخص است، سیگنال‌های کنترلی محدود می‌باشند، اما سیگنال کنترلی  $u_1$  کنترل کننده PID با در نظر گرفتن اغتشاش، بر خلاف سیگنال کنترلی  $u_1$  کنترل کننده PID بدون در نظر گرفتن اغتشاش در شکل (۱۱)، با گذشت زمان بیشتر تقریباً ۲۵ ثانیه به مقدار ثابت ۵۰ نیوتون همگرا شده است و سیگنال کنترلی  $u_1$  کنترل کننده فازی- عصبی- PID پس از گذشت ۵ ثانیه و سیگنال کنترلی  $u_1$  کنترل کننده فازی- PID پس از گذشت ۱۴ ثانیه به مقدار ۱۰ نیوتون رسیده‌اند.

## ۵- نتیجه‌گیری

در این مقاله مدل‌سازی کوادروتور با معادلات نیوتون- اویلر صورت پذیرفت. از دیرباز مسئله تنظیم و بهینه‌سازی پارامترهای کنترل کننده PID مورد توجه تحقیقات کنترلی بوده است. در این مقاله از کنترل کنندهای PID کلاسیک که ضرایب آن‌ها به روش زیگلر- نیکولز تنظیم شدند، فازی- PID و فازی- عصبی مبتنی بر PID استفاده شد. در اصل

Table (12): Settling time and steady state error values of the yaw angle responses with disturbance

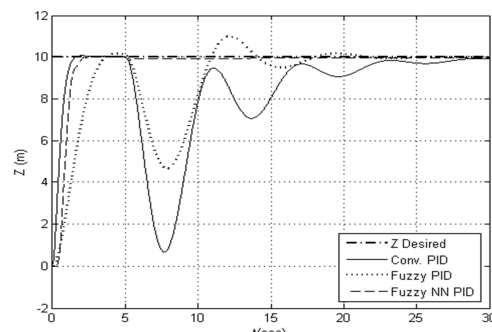
جدول (۱۲): مقادیر زمان نشت و خطای حالت دائمی پاسخ‌های زاویه

پیچش با در نظر گرفتن اغتشاش

خطای حالت دائمی (رادیان)	زمان نشت (ثانیه)	کنترل زاویه پیچش
0.0011	6.5	کنترل کننده PID کلاسیک
0.0241	8.16	کنترل کننده فازی- PID
0.0018	1.01	کنترل کننده فازی- عصبی- PID

همانگونه که مشخص می‌باشد کنترل کننده‌های طراحی شده موفق به کنترل معادلات دینامیکی کوادروتور در حضور اغتشاشات شده‌اند و کنترل کننده فازی- عصبی مبتنی بر PID با خاصیت تطبیق‌پذیر، مقاوم و آموزش بر خط خود دارای بهترین عملکرد است و پس از آن کنترل کننده فازی- PID دارای عملکرد نسبتاً مقاوم‌تری در مقایسه با کنترل کننده PID کلاسیک می‌باشد.

حال، در زمان ۵ ثانیه به کوادروتور جرمی معادل با ۰/۵ کیلوگرم که با جرم کوادروتور مورد بررسی برابر است، اضافه می‌نماییم و به مقایسه نتایج می‌پردازیم. همانطور که از معادلات دینامیکی کوادروتور معلق در هوا (۱۴) تا (۱۷) نیز مشخص است، جرم کوادروتور تنها بر کنترل ارتفاع آن مؤثر می‌باشد و پاسخ‌های کنترل کننده‌ها و سیگنال‌های کنترلی آن‌ها در شکل‌های (۲۳) و (۲۴) آمداند و همچنین، به جهت بررسی بهتر پاسخ‌ها و مقایسه راحت‌تر آن‌ها، زمان نشت، مقدار بالازدگی و خطای حالت دائمی پاسخ‌های کنترل کننده‌های پیاده‌سازی شده بر روی معادلات دینامیکی کوادروتور، در جدول (۱۳) آمداند.



شکل (۲۳): پاسخ کنترل ارتفاع کوادروتور با کنترل کنندهای PID کلاسیک

(خط ممتد)، فازی- PID (نقطه چین) و فازی- عصبی- PID (خط چین) با

حضور نامعینی جرمی

Fig. (23): The response of the altitude control of the quadrotor using classical PID (solid line), fuzzy PID (dotted line) and neural fuzzy PID (dashed line) controllers with mass uncertainty

و حالت ماندگار با عملکرد خوب، قابلیت خود تنظیم بهتر و مقاوم می‌باشد و در محیط‌های نویزی و پر از اغتشاش و برای سیستم‌هایی که پارامترهای داخلی آنها در حال تغییر و همچنین سیستم‌هایی که در مدل دینامیکی آنها نامعینی وجود دارد کاربرد خواهد داشت.

این مقاله با هدف استفاده از مزیت‌های هر دو الگوریتم‌های کنترلی فازی و شبکه عصبی، به ترکیب این دو کنترل‌کننده پرداخته است. نتایج تحقیقات انجام شده در این پژوهش نشان می‌دهند که کنترل‌کننده فازی-عصبی مبتنی بر PID با آموزش بر خط خود دارای عملکرد پویا

### References

- [1] M.W. Bailey, "Unmanned aerial vehicle path planning and image processing for orthoimagery and digital surface model generation", Master's thesis, Vanderbilt University, Nashville, Dec. 2012.
- [2] S. Raza, G. Wail, "Intelligent flight control of an autonomous quadrotor, motion control", University of Ottawa: In Tech, federico casolo ed, 2010.
- [3] S. González-Vázquez, J. Moreno-Valenzuela, "A new nonlinear pi/pid controller for quadrotor posture regulation", Proceeding of the IEEE/CERMA, pp. 642 – 647, Morelos, Oct. 2010.
- [4] J. Li, Y. Li, "Dynamic analysis and pid control for a quadrotor", Proceeding of the IEEE/ICMA, pp.573 – 578, Beijing, Aug. 2011.
- [5] S. Bouabdallah, A. Noth, R. Siegwart, "PID versus LQ control techniques applied to an indoor micro quadrotor", Proceeding of the IEEE/IROS, Vol. 3, pp.2451 – 2456, Sendai, Japan, Oct 2004.
- [6] S. Khatoon, D. Gupta, L. Das, "PID LQR control for a quadrotor: Modeling and simulation", Proceeding of the IEEE/ICACCI, pp.769– 802, New Delhi, Oct. 2014.
- [7] S. Vaitheeswaran, R. Mekala, "Non-linear attitude control methods for quadrotor MAVs: A study", Proceeding of the IEEE/CCIP, pp.1–6, Noida, March 2015.
- [8] H. Noshahri, H. Kharrati, "PID controller design for unmanned aerial vehicle using genetic algorithm," Proceeding of the IEEE/ISIE, pp.213– 217, Istanbul, June 2014.
- [9] B. Erginer, A. Erdin, "Design and implementation of a hybrid fuzzy controller for a quadrotor vtol vehicle", International Journal of Control, Automation and Systems, Vol. 10, pp.61–70, Feb. 2012.
- [10] E.A. Seidabad, S. Vandaki, A.V. Kamyad, "Designing fuzzy PID controller for quadrotor", International Journal of Advanced Research in Computer Science Technology, Vol. 2, pp. 221– 227, Dec. 2014.
- [11] M. Mirzaei, F.S. Nia, H. Mohammadi, "Applying adaptive fuzzy sliding mode control to an underactuated system", Proceeding of the IEEE/ICIA, pp.654- 659, Shiraz, 2011.
- [12] M. Efe, "Neural network assisted computationally simple PID control of a quad rotor uav", IEEE Trans. on Industrial Informatics, Vol. 7, pp.354 –361, April. 2011.
- [13] N. Raharja, Iswanto, M. Faris, A. Cahyadi, "Hover position quadrotor control with fuzzy logic", Proceeding of the IEEE/ICITACEE, pp.89– 92, Semarang, Nov. 2014.
- [14] A. Rabhi, M. Chadli, C. Pegard, "Robust fuzzy control for stabilization of a quadrotor", Proceeding of the IEEE/ICAR, pp.471 – 475, Tallinn, June 2011.
- [15] H. Boudjedir, F. Yacef, O. Bouhali, N. Rizoug, "Adaptive neural network for a Quadrotor unmanned aerial vehicle", International Journal in Foundations of Computer Science and Technology, Vol.2, pp.1–13, July 2012.
- [16] B.Y. Lee, H.I. Lee, Min-Jea Tahk, "Analysis of adaptive control using on-line neural networks for a quadrotor uav", Proceeding of the IEEE/ICCAS, pp.1840–1844, Korea, Oct. 2013.
- [17] M. Mahfouz, M. Ashry, G. Elnashar, "Design and control of quad-rotor helicopters based on adaptive neuro-fuzzy inference system", International Journal of Engineering Research Technology (IJERT), Vol. 2, pp. 479–485, Dec. 2013.
- [18] White, David Ashley, Donald A. Sofge, eds. Handbook of Intelligent Control: Neural, Fuzzy, and Adaptative Approaches. Van Nostrand Reinhold Company, 1992.
- [19] Y. Amir, V. Abbass, "Modeling of quadrotor helicopter dynamics", Proceeding of the IEEE/ICSMA, pp. 100-105, Gyeonggi-do, April 2008.
- [20] X. Gong, Z.C. Hu, C.J. Zhao, Y. Bai, Y.T. Tian, "Adaptive back stepping sliding mode trajectory tracking control for a quad-rotor", IEEE International Journal of Automation and Computing, Vol. 9, pp. 555–560, Oct. 2012.
- [21] H. Voos, "Nonlinear state-dependent riccati equation control of a quadrotor uav", Proceeding of the IEEE/ICCACACSD, pp.2547–2552, Munich, Germany, Oct. 2006.
- [22] A.A. Zamani, S.M. Kargar-Dehnavi, "Compensation of actuator's saturation by using fuzzy logic and imperialist competitive algorithm in a system with PID controller", Journal of Intelligent Procedures in Electrical Technology (JIPET), Vol. 3, No. 11, pp. 21-26, Summer 2013. (in Persian)
- [23] M. Lotfi-Forushani, B. Karimi, Gh. Shahgholian, "Optimal PID controller tuning for multivariable aircraft longitudinal autopilot based on particle swarm optimization algorithm", Journal of Intelligent Procedures in Electrical Technology (JIPET), Vol. 3, No. 9, pp. 41-50, Spring 2012. (in Persian)
- [24] M. Safaei, S. Hosseini, M. Hosseini-Toodeshki, "A general method for designing fractional order PID controller", Journal of Intelligent Procedures in Electrical Technology (JIPET), Vol. 3, No. 12, pp. 25-34, Winter 2013. (in Persian)